

## Adam ŻUCHOWSKI

ZACHODNIOPOMORSKI UNIWERSYTET TECHNOLOGICZNY W SZCZECINIE, KATEDRA STEROWANIA I POMIARÓW  
ul. 26 Kwietnia 10, 71-126 Szczecin

# Układ regulacji ekstremalnej z „grzebieniową” składową sygnału sterującego obiektem

Prof. dr hab. inż. Adam ŻUCHOWSKI

Profesor zwyczajny zatrudniony w Katedrze Sterowania i Pomiarów w Zachodniopomorskim Uniwersytecie Technologicznym. Ze szkolnictwem wyższym związany zawodowo od 1955 roku (Politechnika Wrocławskiego, Politechnika Szczecińska). Jest współtwórcą polskiej szkoły miernictwa dynamicznego, posiada w dorobku około 350 publikacji. W kwietniu 2010 roku upłynęło 55 lat jego działalności naukowej.



e-mail: adam.zuchowski@zut.edu.pl

### Streszczenie

W powszechnie znanych układach regulacji ekstremalnej dynamika obiektu regulowanego stanowi przeszkodę w prowadzeniu procesu zmierzającego do osiągnięcia ekstremum charakterystyki statycznej obiektu i wymaga działań kompensujących jej wpływ. Zaproponowano układ nie stwarzający takich trudności.

**Słowa kluczowe:** Regulacja ekstremalna, dynamika obiektu, proces sterowania.

## The Extreme Control System with „Comb – Form” Component of Plant Input Signal

### Abstract

The commonly known extreme control systems have to be equipped with elements compensating plant dynamics, because the lack of this solution seriously complicates the process of generation of those plant input signals which assure the plant operation in neighbourhood of extremum of its static characteristic. The proposed idea overcomes the mentioned difficulties.

**Keywords:** extreme control systems, plant dynamics, control process.

## 1. Wstęp

Znanych jest od wielu lat i prezentowanych w literaturze [1, 2, 3, 4] kilka typów układów regulacji ekstremalnej, w tym układy z detekcją znaku pochodnych, z detekcją synchroniczną sygnału wyjściowego obiektu, z piłową modulacją sygnału sterującego, w różnych odmianach i wariantach. W każdym z tych typów układów dynamika obiektu regulowanego o charakterystyce statycznej posiadającej ekstremum utrudniające prowadzenie procesu sterowania i wymaga stosowania specjalnych układów kompensacyjnych – w przypadku dynamiki nieliniowej – nie do końca skutecznych. Istnieje jak się wydaje możliwość ominienia takich trudności, co pociąga za sobą konieczność pewnego rozbudowania układu sterującego. Wyizolujmy ze schematu układu regulacji pokazanego na rys. 1 sam obiekt o sygnale wejściowym  $x(t)$  i wyjściowym  $y(t)$ . Założymy, że w pewnym – w praktyce zwykle dopuszczalnym uproszczeniu – charakterystykę statyczną (element środkowy na schemacie) opisuje równanie:

$$y_1 = A - B \cdot (x_1 - x_{1e})^2 \quad (1)$$

a więc, że posiada ona ekstremum (maksimum) w punkcie  $x_1=x_{1e}$ .

Przy odchyleniu  $x_1$  o pewien przyrost  $\Delta x_1$  otrzymujemy się:

$$\begin{aligned} y_1 &= A - B \cdot (x_1 + \Delta x_1 - x_{1e})^2 = A - B \cdot (x_1 - x_{1e})^2 - 2 \cdot B \cdot (x_1 - x_{1e}) \cdot \Delta x_1 - \\ &- B \cdot \Delta x_1^2 = y_{1o} - 2 \cdot B \cdot (x_1 - x_{1e}) \cdot \Delta x_1 - B \cdot \Delta x_1^2 \end{aligned} \quad (2)$$

a więc przyrost wartości  $y_1 - y_{1o}$  proporcjonalny do wielkości odchylenia punktu pracy od punktu docelowego (w którym występuje ekstremum) i nieliniowo zależny od  $\Delta x_1^2$ . Można to wykorzystać do sterowania obiektem wprowadzając operacje:

- okresowego wprowadzania krótkotrwałego odchylenia  $\Delta x_1$  na wejściu obiektu, po uprzednim zapamiętaniu wartości  $y_{1o}$ ,
- powiększenia wartości sygnału  $x_i$  o całkę z różnicą  $y_1 - y_{1o}$ ,
- zapamiętywania kolejnej wartości sygnału  $y_1$  jako ustalonego wyniku reakcji na powiększony sygnał  $x_1$ ,
- kolejnego wprowadzenia krótkotrwałego odchylenia  $\Delta x_1$  i powtarzania tych operacji do skutku.

Uwzględniając dynamikę obiektu (transmitancje członów  $K_1(s)$  i  $K_2(s)$  spełniające warunek  $K_1(0)=K_2(0)=0$ ) i schemat układu pokazany w górnej części rys. 1 doprecyzujemy kolejne fazy jego działania.

W chwili startu mamy na wejściu obiektu o nieliniowej charakterystycznej  $y_1=F(x_1)$  sygnał  $x(0)$ , a na jego wyjściu ustaloną wartość sygnału  $y(0)$  zapamiętaną przez integrator  $I_1$  w pomocniczym układzie śledzącym. Specjalny generator prostokątnych impulsów poprzez węzeł sumacyjny podaje na wejście obiektu impuls  $r(t) = \frac{d}{2} \cdot (1(t) - 1(t-t_x))$  o amplitudzie  $d$  i czasie trwania  $t_x$ .

Przełącznik  $P$  w głównej pętli sprzężenia zwrotnego znajduje się w pozycji (2), a integrator  $I_2$  wyznacza całkę z sygnału  $e(t)$ . Przy pominięciu składnika pochodzącego od nieliniowego członu  $\Delta x_1^2$  całka ta określa przyrost

$$\Delta x = \lim_{s \rightarrow 0} s \cdot \frac{F'(x_0)}{s \cdot T_c} \cdot \frac{d}{s} \cdot (1 - \exp(-st_x)) \cdot K_1(s) \cdot K_2(s) = d \cdot \frac{t_x}{T_c} F'(x_0) \quad (3)$$

niezależnie od dynamiki obiektu. Jego obliczenie trwa przez czas  $T_0$  zależny od wielkości  $t_x$  i dynamiki obiektu. W tym czasie sygnał sterujący nie może jeszcze ulegać zmianie, więc w pętli zostaje wprowadzony człon opóźniający o transmitancji  $\exp(-sT)$ , przy  $T > T_0$ .

Po upływie tego czasu na wejście obiektu trafia już suma  $x(0) + \Delta x$ , przełącznik  $P$  przyjmuje pozycję (1), obiekt osiąga nowy stan równowagi zapamiętany przez integrator  $I_1$ . Ta faza pracy trwa przez czas  $T_1$ . Po upływie czasu  $T+T_1$  generator wytwarza kolejny impuls  $r(t)$ , przełącznik zostaje przełączony w pozycję (2) i następuje powtórzenie całej procedury. Układ zmierza do stanu w którym sygnał wyjściowy obiektu przyjmuje wartość ekstremalną ( $F'(x)=0$ ) z błędem spowodowanym nieliniowym członem  $\Delta x_1^2$ , który powinien być mały.

Zamiast członu opóźniającego o transmitancji  $\exp(-sT)$ , można zastosować układ pokazany w dolnej części rys. 1 z wykorzystaniem elementu przełączającego o stykach  $a$ , oraz  $b$  i dodatkowo członu śledzącego (integrator  $I_3$  oraz węzeł sumacyjny). Pracą elementów przełączających należy sterować uwzględniając czasy kolejnych faz  $T$ , oraz  $T+T_1$  w następujący sposób:

Faza 0 – start układu,  $a = 1$ ,  $\bar{a} = 0$ ,  $b = 1$ ,  $r = 0$

Integrator  $I_1$  zapamiętuje wartość  $y(0)$

Integrator  $I_2$  steruje obiekt sygnałem  $x(0)$

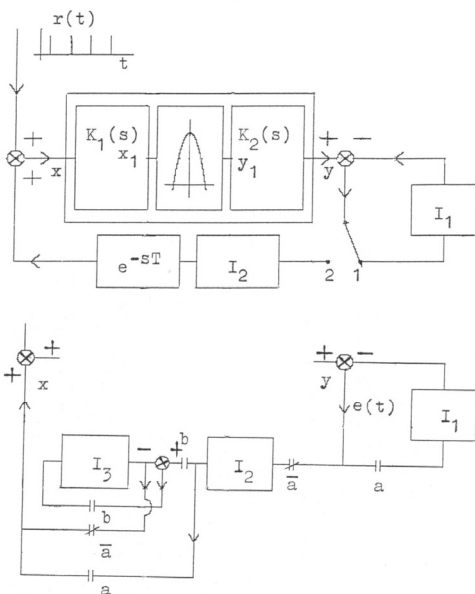
Integrator  $I_3$  zapamiętuje wartość  $x(0)$

Faza 1.  $a = 0$ ,  $\bar{a} = 1$ ,  $b = 0$ ,  $r = d$

Integrator  $I_1$  pamięta  $y(0)$

Integrator  $I_2$  wypracowuje sygnał  $x(0) + \Delta x_1$

Integrator  $I_3$  steruje obiektem sygnałem  $x(0)$



Rys. 1. Schemat blokowy proponowanego układu regulacji ekstremalnej  
Fig. 1. The block diagram of extreme control system

Faza 2.  $a = 1$ ,  $\bar{a} = 0$ ,  $b = 1$ ,  $r = 0$

Integrator  $I_1$  zapamiętuje nową wartość  $y(1)$

Integrator  $I_2$  steruje obiektem sygnałem  $x(0) + \Delta x_1$

Integrator  $I_3$  zapamiętuje wartość  $y(0) + \Delta x_1$

Faza 3.  $a = 0$ ,  $\bar{a} = 1$ ,  $b = 0$ ,  $r = d$

Integrator  $I_1$  pamięta  $y(1)$

Integrator  $I_2$  wypracowuje wartość  $x(0) + \Delta x_1 + \Delta x_2$

Integrator  $I_3$  steruje obiektem sygnałem  $x(0) + \Delta x_1$

Faza 4 = Faza 2, Faza 5 = Faza 3, itd.

## 2. Stabilność układu

Dla uproszczenia pominiemy dynamikę obiektu zakładając jednocześnie, że posiada on charakterystykę statyczną o postaci ogólnej  $y=F(x)$  np. z ekstremum typu maksimum. Startując z punktu początkowego  $x=x_1$  przy niewielkim  $r(t)=d$  otrzymujemy się:

$$F(x_1 + d) \approx F(x_1) + d \cdot F'(x_1) + \frac{1}{2} \cdot d^2 \cdot F''(x_1) \quad (4)$$

Wartość  $F(x_1)$  została zapamiętana przez integrator  $I_1$ , jest to też kolejna wartość sygnału sterującego obiektem:

$$x_2 = x_1 + \frac{1}{T_c} \cdot \int_0^{t_x} (F(x_1 + d) - F(x_1)) \cdot dt = x_1 + d \cdot \frac{t_x}{T_c} \cdot \left( F'(x_1) + \frac{d}{2} \cdot F''(x_1) \right) \quad (5)$$

gdzie  $t_x$  jest czasem trwania impulsu  $r(t)$ . W kolejnym kroku układ startując od wartości  $x=x_2$  osiągnie nowy stan ustalony:

$$x_3 = x_2 + \frac{1}{T_c} \cdot \int_0^{t_x} (F(x_2 + d) - F(x_2)) \cdot dt = x_2 + d \cdot \frac{t_x}{T_c} \cdot \left( F'(x_2) + \frac{d}{2} \cdot F''(x_2) \right) \quad (6)$$

Różnica:

$$D = x_3 - x_1 = x_3 - x_2 + x_2 - x_1 = d \cdot \frac{t_x}{T_c} \cdot \left( F'(x_1) + F'(x_2) + \frac{d}{2} \cdot (F''(x_1) + F''(x_2)) \right) \quad (7)$$

Jeśli  $x_1 < 0$ , oraz  $D < 0$ , lub  $x_1 > 0$ , oraz  $D > 0$  – układ będzie niestabilny. Dla ekstremum typu maksimum jest więc stabilny, jeżeli

$$x_1 \cdot D < 0 \quad (8)$$

Przypuśćmy dla przykładu, że  $F(x) = A - Bx^2$ ,  $F'(x) = -2Bx$  oraz  $F''(x) = -2B$ . W tych warunkach, po przekształceniach otrzymuje się:

$$x_1 \cdot D = -2 \cdot B \cdot d \cdot \frac{t_x}{T_c} \cdot x_1 \cdot (2 \cdot x_1 + d) \cdot \left( 1 - B \cdot d \cdot \frac{t_x}{T_c} \right) \quad (9)$$

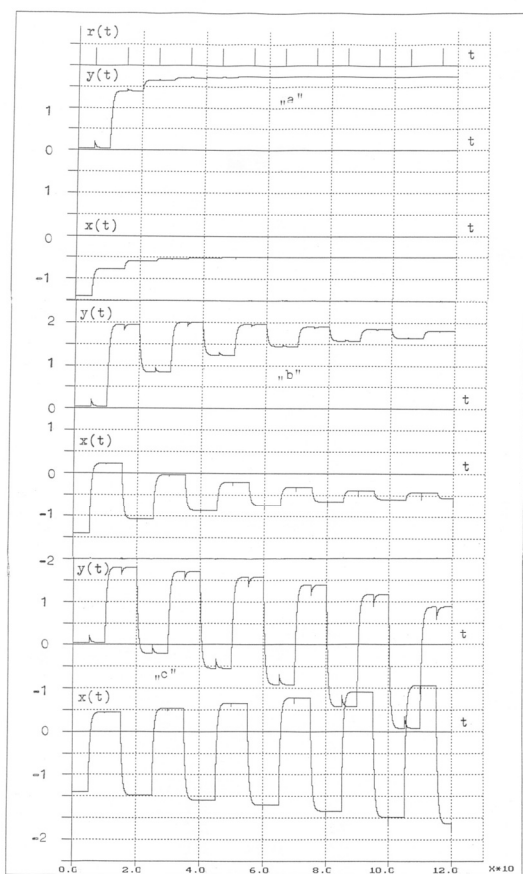
i układ jest stabilny, jeśli  $2x_1 + d < 0$  oraz  $B \cdot d \cdot \frac{t_x}{T_0} < 1$ .

Ponieważ  $2x_1 + d$  staje się dodatnie dla małych  $|x_1|$ , zatem układ w pobliżu ekstremum posiada cykl graniczny (przeszukiwanie okolicy ekstremum). Uwzględnienie dynamiki obiektu zmienia nieco warunki pracy. Jeśli impulsowi  $r(t)$  odpowiada  $r(s)$  w postaci operatorowej, to na wejście gałęzi statycznej obiektu zostanie podany impuls  $r_1(t)$  odpowiadający  $r(s) \cdot K_1(s)$ , a na wyjściu obiektu pojawi się impuls o składowej  $r_1(s) \cdot K_2(s)$ , i składowej zależnej od kwadratu  $r_1^2(t)$  z uwzględnieniem przejścia tej składowej przez blok o transmitancji  $K_2(s)$ . Przy stabilnej pracy układu stan ustalony nastąpi w takim punkcie  $x_u$ , przy którym kolejny przyrost sygnału  $x$  na wejściu integratora  $I_2$  stanie się równy zeru. Istotne jest więc przyjęcie odpowiednio małego i krótkotrwałego impulsu  $r(t)$ , co wydłuża proces odnajdywania punktu ekstremum.

## 3. Wyniki symulacji układu

Wykorzystując odpowiedni program komputerowy dokonano symulacji układu jak na rys. 1 przyjmując nieliniową charakterystykę obiektu o postaci  $y=2(1-0,5x^2)$  i jego dynamikę w postaci członu o transmitancji  $K_2(s)=1/(1+s)$ , przy  $K_1(s)=1$ . Układ każdorazowo startował z warunku początkowego  $x(0) = -1,4$ ,  $y(0) = 0,04$ , przy tym zmieniono czas całkowania integratora  $T_2$ . W pierwszym przypadku (rys. 2a) czas całkowania był stosunkowo długi i układ dochodzi do punktu bliskiego ekstremum przy  $x=0$  aperiodycznie i z pewnym błędem powodowanym nieliniową składową wynikającą z członu  $\Delta x^2$ . W drugim przypadku – przy krótszym czasie całkowania proces ma charakter oscylacyjny tłumiony (rys. 2b), a w trzecim rozbiega się (rys. 2c), zgodnie z przewidywaniami, przy krótkim czasie całkowania.

Błąd statyczny stabilnego układu maleje w miarę zmniejszenia się amplitud impulsów  $d$ , ale jednocześnie wydłuża się czas odnajdywania ekstremum, co stanowi wadę układu. Można – jak się wydaje uzyskać pewną poprawę stosując dodatkowy, sterowany czon nieliniowy w gałęzi sygnału  $e(t)$ . W pierwszej fazie pracy, dalekiej od punktu  $x(t)$  bliskiego optymalnej wartości należało by sterować integrator  $I_2$  sygnałem  $\text{sgn}[e(t)]$ , a począwszy od chwili w której po kolejnym przyroście sygnału sterującego  $x(t)$  przyrost  $y(t)$  staje się ujemny – wykorzystywać już sygnał  $e(t)$ . Komplikuje to strukturę układu i tak już dosyć złożoną.



Rys. 2. Wyniki komputerowej symulacji działania układu  
Fig. 2. Results of computer simulations of system operation

Jeżeli obiekt posiada ekstremum charakterystyki typu minimum – należy oczywiście zmienić znak przyrostu sygnału  $x(t)$  na przeciwny. Dodatkową wadą układu jest konieczność uzależnienia długości czasów  $T$  oraz  $T_1$  od dynamiki obiektu.

#### 4. Podsumowanie

Prezentowany układ należy traktować jako jedną z odmian układów regulacji ekstremalnej z sygnałem przeszukującym. Odpowiedni dobór czasów  $T$  i  $T_1$  uniezależnia działanie układu od rodzaju dynamiki obiektu i zmian jego parametrów w szerokim zakresie, ale najprawdopodobniej nie nadaje się do stosowania w przypadku transmitancji obiektu posiadającej dodatnie zera. Proste eksperymenty symulowane potwierdzają poprawność jego działania i zgodność zachowania się z przewidywaniami.

#### 5. Literatura

- [1] Węgrzyn S.: Podstawy automatyki. PWN Warszawa 1963.
- [2] Krasowski A.A., Pospieł G.S.: Podstawy automatyki i cybernetyki technicznej. WNT Warszawa 1965.
- [3] Gibson John E.: Nieliniowe układy sterowania automatycznego. WNT Warszawa, 1968.
- [4] Żuchowski A.: O pewnym układzie regulacji ekstremalnej. PAK, 10/1970.

otrzymano / received: 01.02.2012

przyjęto do druku / accepted: 02.07.2012

artykuł recenzowany / revised paper

## INFORMACJE

### Nowa inicjatywa PAK

Na stronie internetowej Wydawnictwa PAK został utworzony dział: **Niepewność wyników pomiarów** w którym są zamieszczane aktualne informacje dotyczące problemów teoretycznych i praktycznych związanych z szacowaniem niepewności wyników pomiarów. W dziale znajdują się:

- aktualne informacje o publikacjach dotyczących niepewności wyników,
- informacje o przedsięwzięciach naukowo–technicznych i edukacyjnych, o tematyce związanej z niepewnością,
- dokumenty dotyczące niepewności,
- pytania do ekspertów (FAQs).

Zapraszamy:

- autorów opublikowanych prac dotyczących niepewności o nadsyłanie tekstów do zamieszczenia w tym dziale,
- organizatorów przedsięwzięć naukowo – technicznych lub edukacyjnych do nadsyłania informacji o imprezach planowanych lub odbytych,
- zainteresowanych zagadnieniami szczegółowymi do nadsyłania pytań do ekspertów.

Materiały mogą mieć formę plików lub linków do źródeł. Warunkiem zamieszczenia w tym dziale strony internetowej PAK materiałów lub linków jest przesyłanie do redakcji PAK pocztą zwykłą zgody właściciela praw autorskich na takie rozpowszechnienie. Zamieszczanie i pobieranie materiałów i informacji w tym dziale strony internetowej jest bezpłatne. Redakcja PAK będzie nadzorować zawartość działu, ale za szczegółowe treści merytoryczne odpowiadają autorzy nadsyłanych materiałów.

Tadeusz SKUBIS  
Redaktor naczelny Wydawnictwa PAK